

이하 HT-HR)와 회전테이블이 틸팅과 로테이션을 하는 경우 (Table Tilting - Table Rotation, 이하TT-TR) 및 공구가 틸팅하고 테이블이 로테이션하는 경우(HT-TR)로 구분된다. 기존 연구의¹ 범용 Post-processor에서는 이 중에서 가장 많이 사용되고 있는 6가지 메커니즘으로 각각 HT-HR(AC, AB), TT-TR(AC, BC), HT-TR(BC, AC) 타입을 구현하였다.

본 연구에서는 기존의 6가지 메커니즘 이외에 Z축이 X축 중심으로 45도 회전축을 틸팅 회전축으로 하는 특수한 경우의 메커니즘을 구현하였으며 메커니즘의 개념도는 Fig. 3과 같다. Fig. 3의 (a)는 70eV 5축가공기(DMG, Germany)의 구조를 보여주고 있으며 Fig. 3의 (b)는 틸팅축과 로테이션축을 정의하기 위한 개념도이다.

Fig. 3의 (b)에서 Z'은 Z축을 B축 중심으로 틸트각, θ 만큼 회전했을 때의 벡터이고, V'은 공구축, V를 B축 중심으로 θ 만큼 회전했을 때의 벡터이다. $\angle Z'Z = \angle Z'V'$ 이므로 식 (3)과 같이 나타낼 수 있다.

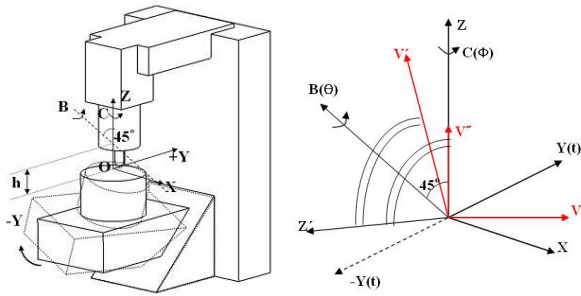


Fig. 3 Special type of mechanism in 5-axis machine

$$Z'_z Z'_z = Z'_x V'_x + Z'_y V'_y + Z'_z V'_z \quad (3)$$

여기서 Z' 벡터와 V' 벡터는 식 (4) 및 식 (5)로 부터 구할 수 있으며 틸트각, θ 는 식 (6)와 같이 정의할 수 있다.

$$Z' = [Z]R_B(\theta) = (Z)R_x(45)R_y(\theta)R_x(-45) \quad (4)$$

$$V' = [V]R_B(\theta) = (V)R_x(45)R_y(\theta)R_x(-45) \quad (5)$$

$$\theta = \cos^{-1}(2u_k - 1) \quad (6)$$

B축의 틸트각(θ)이 정의되면 C축의 로테이션각(ϕ)를 식(7) 및 식 (8)로 부터 정의할 수 있다.

$$\begin{aligned} V'' &= Z = V' R_B(\theta) R_z(-\phi) R_B(-\theta) \\ &= V R_z(-\phi) R_B(-\theta) \\ &= V R_z(-\phi) R_x(45) R_y(-\theta) R_x(-45) \end{aligned} \quad (7)$$

$$\phi = \cos^{-1} \left(\frac{\sin 45 \sin B u_i - u_j + u_j \cdot u_k}{u_i^2 + u_j^2} \right) \quad (8)$$

로테이션각과 틸트각이 구해지면 CL 데이터의 파트좌표계 위치벡터(\vec{P}_p)를 NC 데이터의 머신좌표계 위치벡터(\vec{P}_m)로 변환하며 식 (9)와 같이 구할 수 있다.

$$\vec{P}_m = \vec{P}_p \cdot T, \quad \text{여기서 } T = \prod_{k=1}^8 T_k, \quad (9)$$

$$\begin{aligned} T_1 &= T_{xyz}(x_0, y_0, z_0), \quad T_2 = R_z(-\phi), \quad T_3 = T_z(-h), \quad T_4 = R_x(45) \\ T_5 &= R_y(\theta), \quad T_6 = R_x(-45), \quad T_7 = T_z(h), \\ T_8 &= T_{xyz}(-x_0, -y_0, -z_0) \end{aligned}$$

따라서 2절에서 구한 최종보정 이송률을 적용한 NC 데이터는 식(10)과 같다.

$$NC = \vec{P}_m, \theta, \phi, F_a \quad (10)$$

4. 이송률제어를 고려한 포스트프로세서의 검증

이송률제어를 고려한 포스트프로세서의 검증 실험은 Fig. 4와 같이 이송률제어를 안 한 블레이드 3개과 이송률제어를 한 블레이드 3개를 교차로 가공하여 수행하였다. 5축가공기는 앞절에서 정의한 특수한 메커니즘을 갖는 DMG사의 70-ev 5축가공기를 사용하였으며 해당장비에 대한 Post-processor 및 이송률 제어 성능평가를 위하여 블레이드 곡면에 대한 표면조도와 표면형상을 측정 및 촬영하였다. Table 1은 표면조도 측정 결과로서 이송률 제어를 수행한 경우 약 0.05 μ m 정도 향상된 값을 얻을 수 있었다. Fig. 5는 표면형상을 공구현미경으로 촬영한 그림으로 이송률제어가 되지 않은 Fig. 5의 (a)에 비하여 이송률제어가 반영된 Fig. 5의 (b)가 전반적으로 양호한 상태임을 알 수 있다.

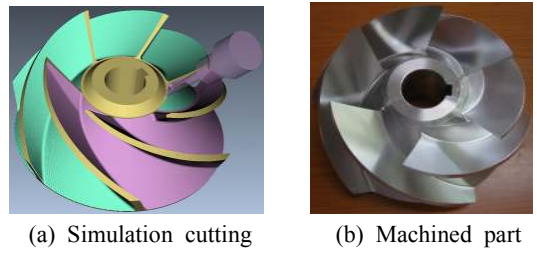


Fig. 4 5-axis NC machining with controlled feedrate

Table 1 Comparison of surface roughness between feedrate types

Feedrate control type	Roughness, $Ra(\mu m)$
Given feedrate	0.27
Controlled feedrate	0.22
Improvement of surface roughness	0.05

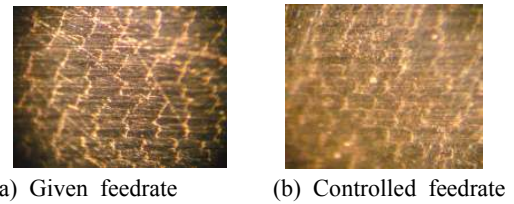


Fig. 5 Photograph of machined surface

5. 결론

- 공구축 이송계의 이송속도를 실제 가공과 관련한 CL 데이터의 이송속도로 보정하고 회전이송이 큰 경우에 대한 이차적인 이송속도 보정을 통하여 공구 끝에서 일정한 이송률로 절삭할 수 있도록 하는 알고리즘을 개발하였다.
- 기존에 개발한 5축가공용 범용 Post-Processor에 특수한 경우의 메커니즘을 추가하고 이송률이 제어된 새로운 NC 데이터를 생성함으로써 이송률이 제어된 5축가공용 Post-Processor를 개발하였다.
- 일정한 이송률이 제어된 Post-processor 개발을 통하여 5축가공 시에 공구에 걸리는 부하를 일정하게 하여 표면조도결과가 0.05 μ m 정도 향상하였으며 양호한 표면형상을 얻을 수 있었다.

후기

본 연구는 산업자원부 지방기술혁신사업(RT104-01-03) 지원으로 수행되었습니다.

참고문헌

- 조은정, 황종대, 정윤교, "5축가공용 Post-Processor 개발에 관한 연구", 한국공작기계학회논문집, Vol. 12, No. 1, 2006
- S.G. Han, Zhao, "A generalized simulation model for surface topography prediction on 5-axis ball-end milling", Asian symposium for Precision Engineering and Nanotechnology, 2007
- 이철수, 이제필, "공구 끝의 일정한 절삭속도를 위한 5축 NC가공 데이터의 이송속도 산출", 한국 CAD/CAM 학회논문집, Vol. 6, No. 2, pp.69-77, 2001